

非定常不可压绕流的有限元-有限差分计算

赖国璋 刘 坚 刘建林
(大连理工大学工程力学研究所)

摘 要

本文用一种有限元-有限差分混合法解不可压非定常 Navier-Stokes 方程来模拟非定常绕流。在同一时间步的不同计算步中,用三阶迎风差分格式离散动量方程中的对流项,压力修正方程用有限元离散,离散后的方程用直接法求解。本文给出了雷诺数(Re)为 1200 时的圆柱绕流结果。模拟了突然起动过程中对称主涡和二次涡的发展过程,以及柱后涡街的发展过程中主涡和二次涡的形成、合并、脱落过程。

关键词: 非定常流, 不可压流体, 有限差分法, 有限元法。

一、前 言

不可压流体的钝体绕流问题是一个古典而又有实际意义的课题。以前实验的结果较多,高雷诺数时,数值计算的结果较少。近年来,随着计算机的发展和计算技术的提高,人们对这一经典问题的求解又产生了新的兴趣,开始数值求解 Navier-Stokes 方程来模拟高雷诺数钝体绕流。目前所用方法主要有有限差分法,有限元法,有限分析法。当雷诺数较高时,由于物理现象本身的复杂性及方程的稳定性要求,必须有较密的网格。同时由于流场的非定常性,必须进行长周期的计算以揭示瞬态流动演化的时间过程,这一切都要求较大的计算机存贮和较高的计算速度,导致较高的费用。这就促使人们寻求快速、稳定、存贮要求小的数值方法。在文献[1]中,曾用有限元法求解 N-S 方程,方法适应于复杂边界情况,在求解中应用了分裂步过程及集中质量法,减少了内存要求。对于修正压力的泊松方程,由于其系数阵正定、对称、并不随时间变化,可用直接法求解,且该矩阵可只形成、分解一次,以后只须做回代计算,计算速度较快。但由于采用了 Galerkin 加权法离散动量方程,难于求解到较高的雷诺数。文献[2]中采用三阶迎风差分格式离散动量方法中的对流项,在雷诺数较高时仍稳定。本文把[1]、[2]的方法结合起来,用有限元-有限差分混合法解 N-S 方程。即在同一时间步的不同计算过程中,对动量方程采用差分法,并对其中的对流项用三阶迎风格式处理,修正压力的方程及其它过程用有限元法处理。用贴体坐标把有限元、有限差分法结合起来,使得求解较高雷诺数时仍稳定、高速、并能适应于复杂边界问题。

本文于 1990 年 4 月 24 日收到。国家自然科学基金资助课题。

二、基本方程及初边值条件

设所讨论的流动区域为 Ω ，其边界有两部分，一部分 Γ_1 上给定速度，另一部分 Γ_2 上给定力。无量纲形式的动量方程和连续方程为：

$$\frac{\partial \vec{V}}{\partial t} + (\vec{V} \cdot \nabla) \vec{V} = -\nabla P + \frac{1}{Re} \nabla^2 \vec{V} \quad (1)$$

$$\nabla \cdot \vec{V} = 0 \quad (2)$$

$$\text{在边界 } \Gamma_1 \text{ 上} \quad \vec{V} = \vec{b}(x, y, t) \quad (3)$$

$$\text{在边界 } \Gamma_2 \text{ 上} \quad -P\vec{n} + \frac{1}{Re} \frac{\partial \vec{V}}{\partial n} = \vec{h} \quad (4)$$

其中 \vec{V} , P , Re 各为流速向量、压力和雷诺数 ($Re = \frac{UL}{\nu}$)， \vec{b} , \vec{n} , \vec{h} 各为边界上给定的流速值，边界的外法线单位向量及边界上给定的力。 x, y 为坐标值， t 为时间。

初始条件为

$$\vec{V}(x, y, 0) = \vec{V}_0(x, y) \quad (5)$$

$$P(x, y, 0) = P_0(x, y) \quad (6)$$

其中 \vec{V}_0 , P_0 为给定的初始流速、压力值。

三、求解过程

由[1]，把方程(1)，(2)分为如下过程求解。设第 n 时刻步的速度、压力 \vec{V}^n , P^n 已知，第 $(n+1)$ 时刻的速度、压力为 \vec{V}^{n+1} , P^{n+1} 。求解中引进一预估速度 \vec{V}^* ，由方程(1)显式求解 \vec{V}^* (Δt 为时间步长)

$$\frac{\vec{V}^* - \vec{V}^n}{\Delta t} + (\vec{V}^n \cdot \nabla) \vec{V}^n = -\nabla P^n + \frac{1}{Re} \nabla^2 \vec{V}^n \quad (7)$$

预估速度 \vec{V}^* 可不满足连续方程(2)，另外我们写出

$$\frac{\vec{V}^{n+1} - \vec{V}^n}{\Delta t} + (\vec{V}^n \cdot \nabla) \vec{V}^n = -\nabla P^{n+1} + \frac{1}{Re} \nabla^2 \vec{V}^n \quad (8)$$

由(8)-(7)，得

$$\frac{\vec{V}^{n+1} - \vec{V}^*}{\Delta t} = -\nabla(P^{n+1} - P^n) \quad (9)$$

设 $\phi/\Delta t = -(P^{n+1} - P^n)$ ， $\phi/\Delta t$ 可看作修正压力，由(9)式得

$$\vec{V}^{n+1} - \vec{V}^* = \nabla \phi \quad (10)$$

$$P^{n+1} - P^n = -\phi/\Delta t \quad (11)$$

对(10)取散度，并要求 \vec{V}^{n+1} 满足方程(2)，可得 ϕ 应满足的方程

$$\nabla^2 \phi = -\nabla \cdot \vec{V}^* \quad (12)$$

因此, 在一个时间步中, 求解步骤为:

- (a) 由猜想(或以前的计算得到的)的速度、压力 \vec{V}^n , P^n , 用(7)式计算预估速度 \vec{V}^* ;
 - (b) 由(12)求得 ϕ ;
 - (c) 由(10)式求 \vec{V}^{n+1} ;
 - (d) 由(11)式求 P^{n+1} . 完成一个时间步后, 重新回到(a), 开始下一时间的计算.
- 求解(12)式时, ϕ 的边界条件由(10)式在边界处法向方向投影获得

$$\vec{n} \cdot (\vec{V}^{n+1} - \vec{V}^*) = \frac{\partial \phi}{\partial n} \quad (13)$$

四、离散方法

对于方程(7), 采用差分离散, 对于复杂边界, 方程在贴体坐标变换下写出:

$$\frac{u^* - u}{\Delta t} + \left(\frac{uy_\eta - vx_\eta}{J} \right) u_\xi + \left(\frac{vx_\xi - uy_\xi}{J} \right) u_\eta = - \frac{y_\eta P_\xi - y_\xi P_\eta}{J} + \frac{1}{Re} \Delta u \quad (14)$$

$$\frac{v^* - v}{\Delta t} + \left(\frac{uy_\eta - vx_\eta}{J} \right) v_\xi + \left(\frac{vx_\xi - uy_\xi}{J} \right) v_\eta = - \frac{x_\xi P_\eta - x_\eta P_\xi}{J} + \frac{1}{Re} \Delta v \quad (15)$$

其中 (x, y) 为物理坐标, (ξ, η) 为计算坐标. u, v 为速度向量在 x, y 方向的分量, 为书写方便(7)式的上标 n 未写出. (14)、(15)以及以下各式中的下标表示求导. 算子 Δ 为:

$$\begin{aligned} \Delta A = & (\alpha A_{\xi\xi} - 2\beta A_{\xi\eta} + \gamma A_{\eta\eta})/J^2 + [(\alpha x_{\xi\xi} - 2\beta x_{\xi\eta} + \gamma x_{\eta\eta})(y_\xi A_\eta - y_\eta A_\xi) \\ & + (\alpha y_{\xi\xi} - 2\beta y_{\xi\eta} + \gamma y_{\eta\eta})(x_\eta A_\xi - x_\xi A_\eta)]/J^3 \end{aligned} \quad (16)$$

其中 A 代表 u, v

$$\begin{aligned} J &= x_\xi y_\eta - x_\eta y_\xi & \alpha &= x_\eta^2 + y_\eta^2 \\ \beta &= x_\xi x_\eta + y_\xi y_\eta & \gamma &= x_\xi^2 + y_\xi^2 \end{aligned}$$

(14)、(15)式中的空间导数, 除对流项外, 均采用中心差分离散, 对流项采用三阶精度的迎风格式离散^[2].

$$\left(f \frac{\partial u}{\partial \xi} \right)_{i,j} = f_{i,j} (u_{i+2,j} - 2u_{i+1,j} + 9u_{i,j} - 10u_{i-1,j} + 2u_{i-2,j}) / 6\Delta\xi \quad (f_{i,j} \geq 0)$$

或

$$= f_{i,j} (-2u_{i+2,j} + 10u_{i+1,j} - 9u_{i,j} + 2u_{i-1,j} - u_{i-2,j}) / 6\Delta\xi \quad (f_{i,j} < 0)$$

误差的量阶为 $f \cdot (\Delta\xi)^3 \frac{\partial^4 u}{\partial \xi^4}$.

对于 $\left(f \frac{\partial u}{\partial \eta} \right)$, $\left(f \frac{\partial v}{\partial \xi} \right)$, $\left(f \frac{\partial v}{\partial \eta} \right)$ 按类似方法处理.

对于方程(12), (10), (11)采用有限元离散.

关于 ϕ 的单元矩阵为

$$\begin{aligned} A_{i,j} \phi_j &= E_{\xi i,j} u_j^* + E_{\eta i,j} v_j^* \\ A_{ij} &= \int_{\Omega^e} \left(\frac{\partial N_i}{\partial x} \cdot \frac{\partial N_j}{\partial x} + \frac{\partial N_i}{\partial y} \cdot \frac{\partial N_j}{\partial y} \right) d\Omega \\ E_{\xi i,j} &= \int_{\Omega^e} N_i \frac{\partial N_j}{\partial x} d\Omega \end{aligned} \quad (17)$$

$$E_{yij} = \int_{\Omega^e} N_i \frac{\partial N_j}{\partial y} d\Omega$$

这里 Ω^e 是单元面积, N_i 是插值函数。

关于 u^{n+1} , v^{n+1} 的矩阵为

$$M_{ij} u_j^{n+1} = M_{ij} u_j^n + E_{yij} \phi_i \quad (18a)$$

$$M_{ij} v_j^{n+1} = M_{ij} v_j^n + E_{xij} \phi_i \quad (18b)$$

其中 $M_{ij} = \int_{\Omega^e} N_i N_j d\Omega$, 为了节省内存, 采用了按行相加的质量集中法将 M_{ij} 集中到对角线上。

关于 P^{n+1} 的计算, 因离散时, u , v , ϕ 是按节点离散的, 而压力是按单元离散的, 因而 P_i^{n+1} 按下式计算

$$P_o^{n+1} = P_o^n - \frac{\phi_o^{n+1}}{\Delta t}$$

ϕ_o^{n+1} 为单元中心的 ϕ^{n+1} 值。

由(17)式得到的线性方程组, 采用直接法求解。

五、数值算例、结果讨论

用上述方法计算了 $Re\left(=\frac{uD}{U}\right)$ 为 1200 时均匀来流绕圆柱的流动。 u 为来流速度, D 为圆柱直径。求解区域及相应的贴体坐标网格如图 1a, 圆柱的圆心坐标为 (o, o) , 远前点离圆心 $5.5D$, 上、下边界离圆心也为 $5.5D$, 远后边界离圆心为 $11.5D$ 、总节点数为 3200, 单元 (四节点等参元) 为 3120, 沿圆周不等距分布了 60 个网格点, 附面层内有 6 层网格, 无量纲时间步长为 $\Delta t = 0.005$ (最大可用到 0.008)。

边界条件

物面 $A-A'$ 上 $u=v=0$

$D-C$, $C-B$, $B-F$, $F-E$ 上 $u=1$, $v=0$

DE 上 $\frac{\partial u}{\partial x}=0$, $\frac{\partial v}{\partial x}=0$, ϕ 的边界条件为(13)式。

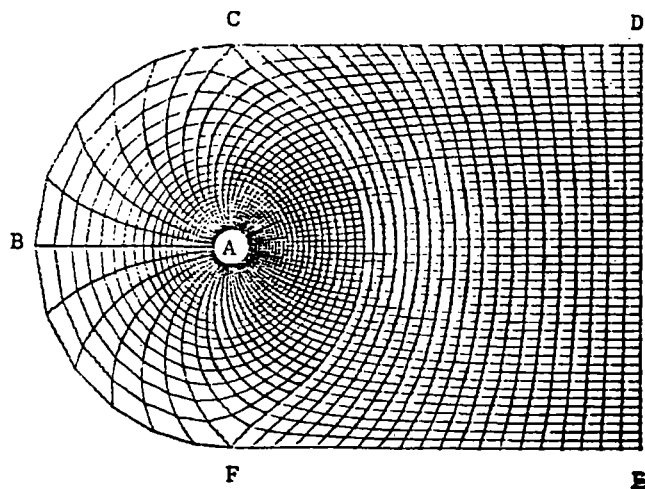


图 1a 贴体坐标系统

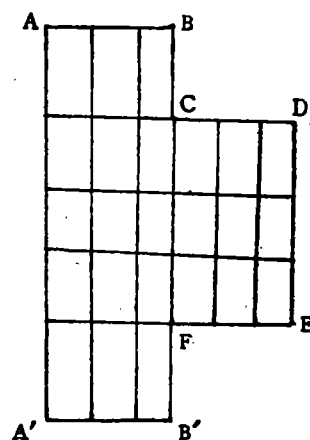


图 1b 计算坐标系

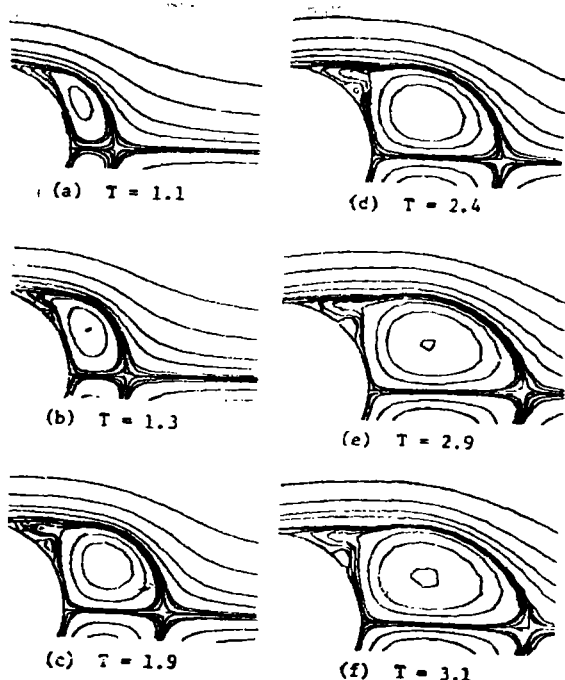


图 2 不同时刻的流线图(计算) $Re = 1200$

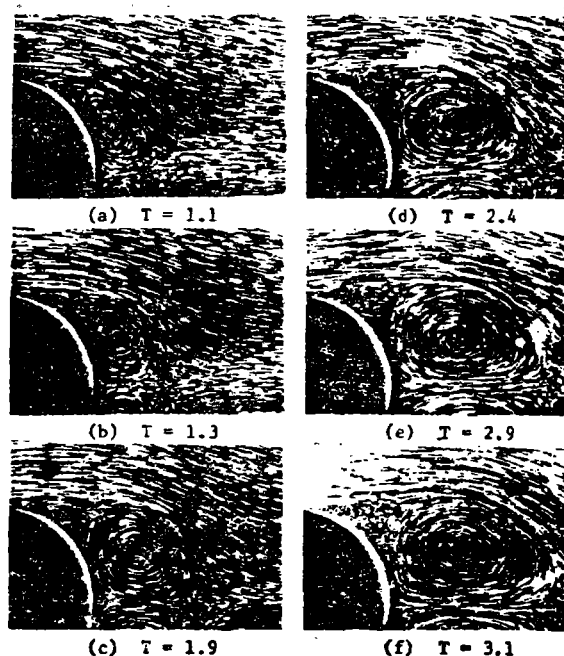


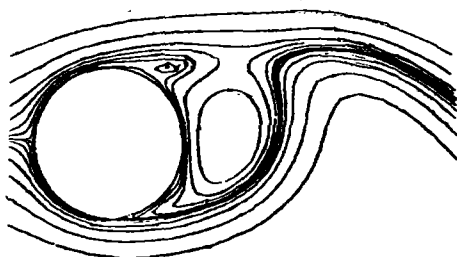
图 3 不同时刻的流场显示(实验) $Re = 1200$

求解突然起动流时, 采用无粘势流解作为初始场。

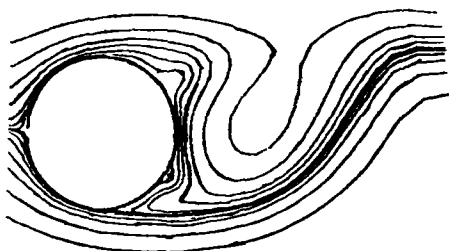
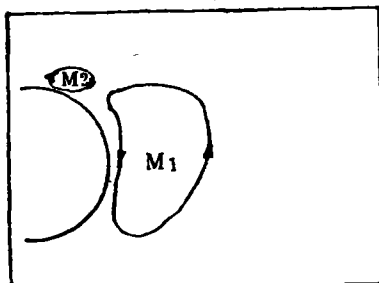
图 2 为圆柱突然起动后的流场, 此时流场是对称的, 无量纲时间 $T = 1.1$ 时, 形成一对主涡, $T = 1.3$ 时, 主涡增大, 涡心后移, 同时在圆柱后形成一对二次涡, 旋转方向与主涡相反, 随着时间的发展, 主涡逐渐增大, 涡心后移, 二次涡的位置变化不大, 图 3 为取自文献[2]的实验结果, 可看出本文结果与实验结果符合很好。

$T = 25.0$ 流场显现不对称, $T = 45$ 后, 形成有周期性的柱后涡街, 图 4 给出一个周期内不同时刻的流线图, 从图中可看到主涡的交替脱落及二次涡与主涡的合并过程。

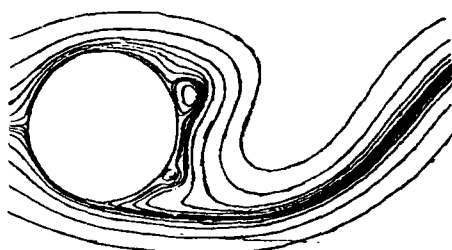
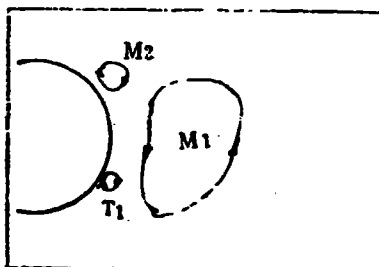
$T = 47.0$ 时, 柱后有一大涡, 其旋转方向为逆时针方向, 这是从柱下方脱落下来的, 以 M_1 代表。同时柱后上部形成一顺时针的主涡 M_2 。 $T = 47.70$ 时 M_1 移向下游, M_2 移向圆柱后部。这时在柱的下后部, 由 M_1 和下部主分离点形成的剪切层的共同作用, 形成了一顺时针方向旋转的二次涡, 以 T_1 代表之。 $T = 48.15$ 时, M_2 继续增大, 同时移向柱后部, T_1 增大, 但位置不变, M_2 与 T_1 共同把 M_1 挤向下游。 $T = 48.60$ 时, T_1 与 M_2 合并为一大涡, 继续以 M_2 表示。 $T = 49.05$ 时, M_2 继续增大, 圆柱下部的剪切层形成一个逆时针旋转的主涡 M_3 。 $T = 49.50$ 时, 柱上后部形成一逆时针旋转的二次涡 T_2 , M_2 开始脱落。 M_3 向柱后移动。 $T = 49.95, 50.40$ 时 T_2, M_3 都继续增大, M_3 向 T_2 靠拢, 把 M_2 挤向下游。 $T = 50.85$ 时, M_3 与 T_2 合并, 形成一个逆时针旋转的主涡, 同时上部剪切层形成一顺时针旋转的涡 M_4 。 $T = 51.30$ 时, 柱下部出现顺时针的二次涡 T_3 , M_3 向下游脱落。 $T = 51.75$ 时, M_4 与 T_3 继续增大、靠拢, 形成类似 $T = 47.70$ 时的流场。从计算结果看, 涡街的交替脱落过程中, 一侧脱落的主涡并非由一侧剪切层单独产生, 而是加入了另一侧二次涡的涡量, 最后从柱后部脱落。这一合并脱落过程对于涡街脱落的频率有何影响有待进一步研究。文献[3]给出了 $Re = 1000$ 时的计算结果, 他们用有限差分法



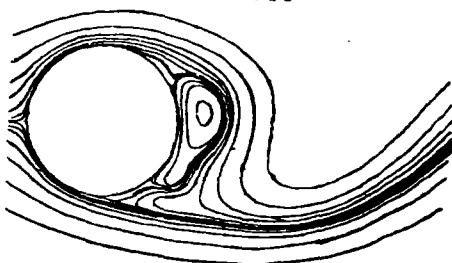
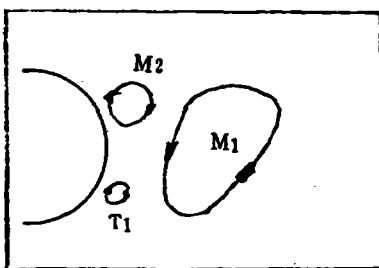
(a) $T=47.00$



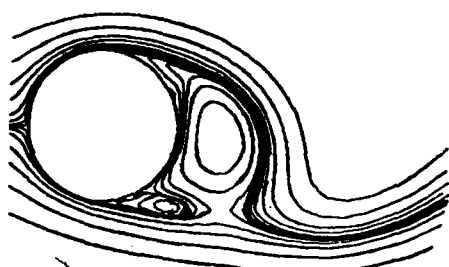
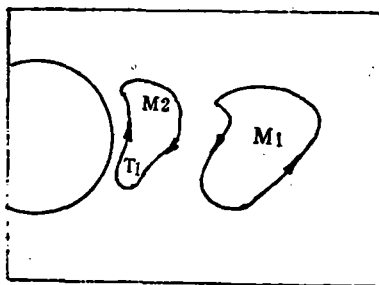
(b) $T=47.70$



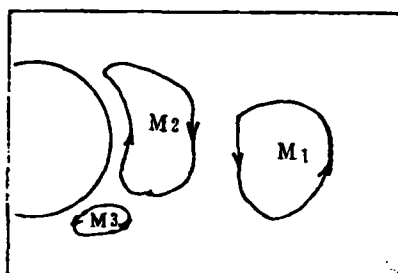
(c) $T=48.15$

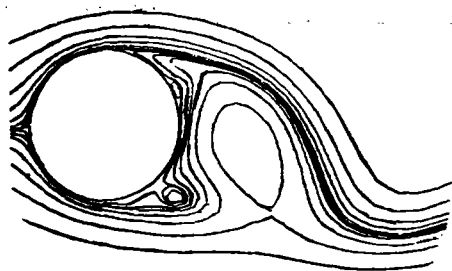


(d) $T=48.60$

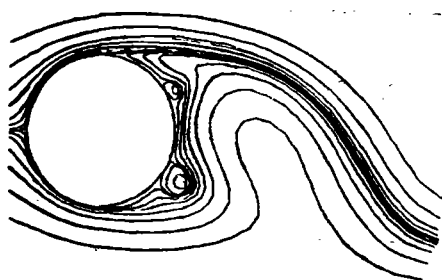
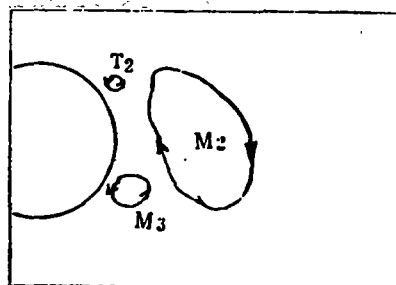


(e) $T=49.05$

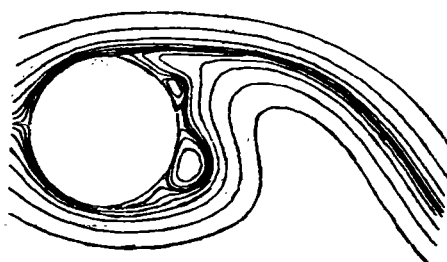




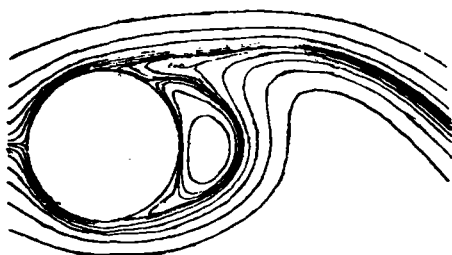
(f) $T=49.50$



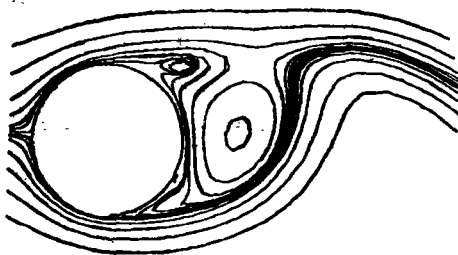
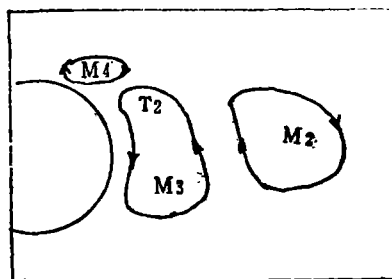
(g) $T=49.95$



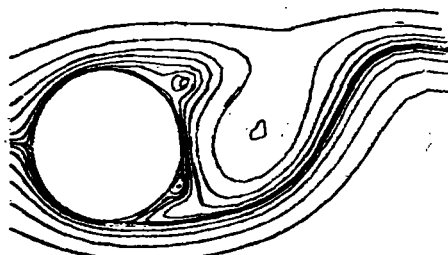
(h) $T=50.40$



(i) $T=50.85$



(j) $T=51.30$



(k) $T=51.75$

图 4 不同时刻的流线图(稳态)

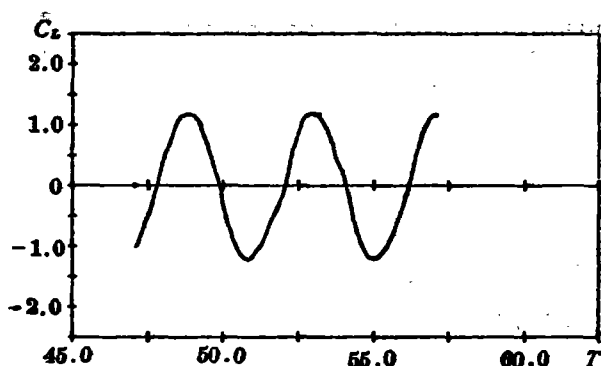


图 5 升力随时间变化

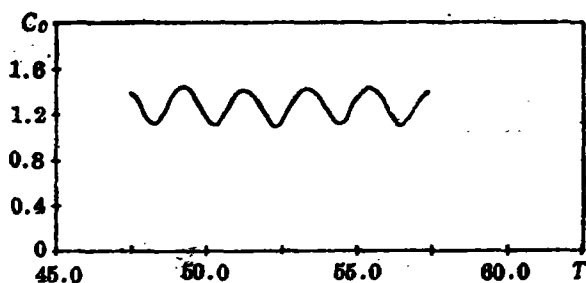


图 6 阻力随时间变化

(网格点数约 18000, 空间导数用中心差分离散)得到与本文类似的结果。

图 5 为圆柱的升力系数随时间变化过程, 图 6 为阻力系数随时间变化的过程, 阻力的变化周期约为升力的两倍, 斯图罗哈数 $St = 0.287$, 接近于实验的 $0.19 \sim 0.22$ 的值, 但还有一定差距, 原因可能是计算区域取得不够大, 导致了类似风洞中的堵塞效应。

本文的计算未采用湍流模型, 而直接解时间相关的 Navier-Stokes 方程, 对于小于网格尺度和小于时间增量 Δt 的脉动没有考虑, 得到的结果和实验仍有差别, 其原因还有待研究。但用本文的方法是有可能提供一些有用的信息, 如圆柱后的涡的形成、合并、脱落的过程, 这将给我们提示解决问题的办法。

六、结 论

本文用有限元-有限差分混合法模拟了 $Re = 1200$ 时圆柱绕流问题, 以三阶迎风格式离散对流项, 有利于计算较高 Re 数的流动, 对于修正压力的方程采用有限元离散, 可适应复杂边界, 针对方程的具体特点, 用直接法求解, 速度也较快。用贴体坐标变换可将有限元-有限差分结合起来。

由计算结果, 可看出涡街交替脱落过程中主涡与二次涡合并脱落现象, 其确定性有待物理实验的验证。

参 考 文 献

- [1] 赖国璋 穆维贤 陈 雄, 非定常 N-S 方程的分裂时间步势函数有限元解法, 第四届全国计算流体力学会议论文集, 上海, 1988.
- [2] T. Kawamura K. Kuwahara, Computation of High Reynolds Numbers Flow around a Circular Cylinder with Surface Roughness, AIAA paper 84-340, 1984.
- [3] M. Braza P. Chassaing and H. Ha. Minh, Numerical Study and Physical Analysis of the Pressure and Velocity Fields in the Near Wake of a Circular Cylinder, J. Fluid Mech., Vol. 165, pp. 79-130, 1986.

FDM-FEM Approach for Unsteady Incompressible Flow Computations

Lai Guo-zhang Liu Jian Liu Jian-lin

(Institute of Engineering Mechanics, Dalian University of Technology)

Abstract

Unsteady incompressible flow around a circular cylinder is analysed by direct integration of Navier-Stokes equations using a hybrid method between a finite-difference method (FDM) and a finite-element method (FEM). In this method, a high-order upwind scheme expressed easily in FDM is used to discrete convective terms in the N-S equations. The Poisson equation for the correct pressure P is solved by FEM. The Reynold number is 1200. Some meaningful results are gotten.

Key words: unsteady flow, incompressible flow, finite-difference method, finite-element method.